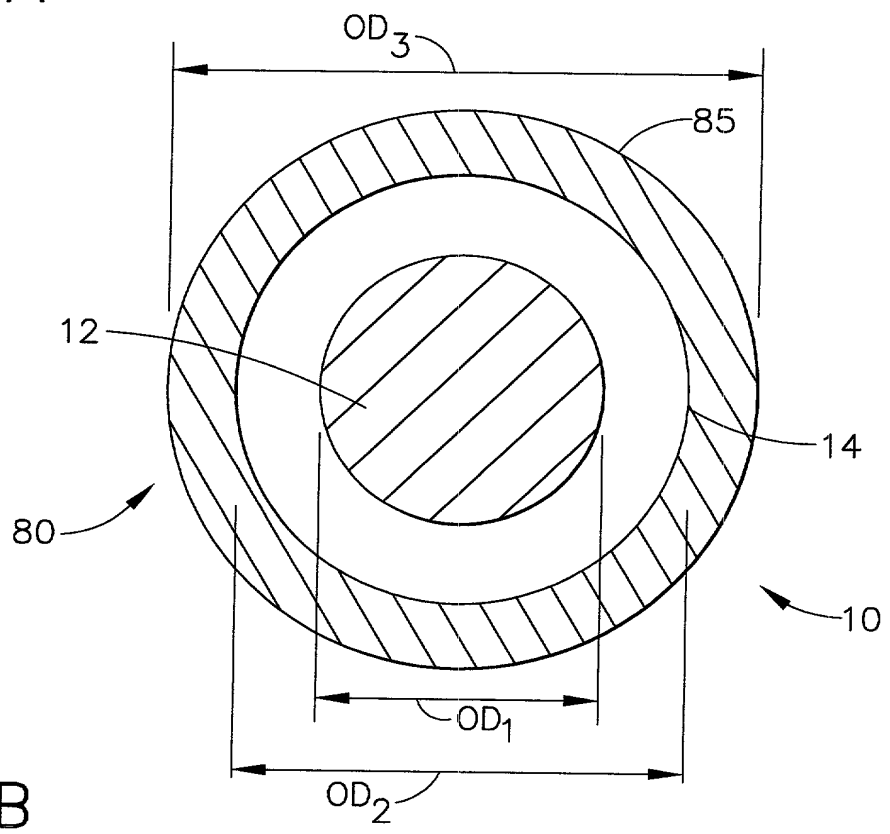
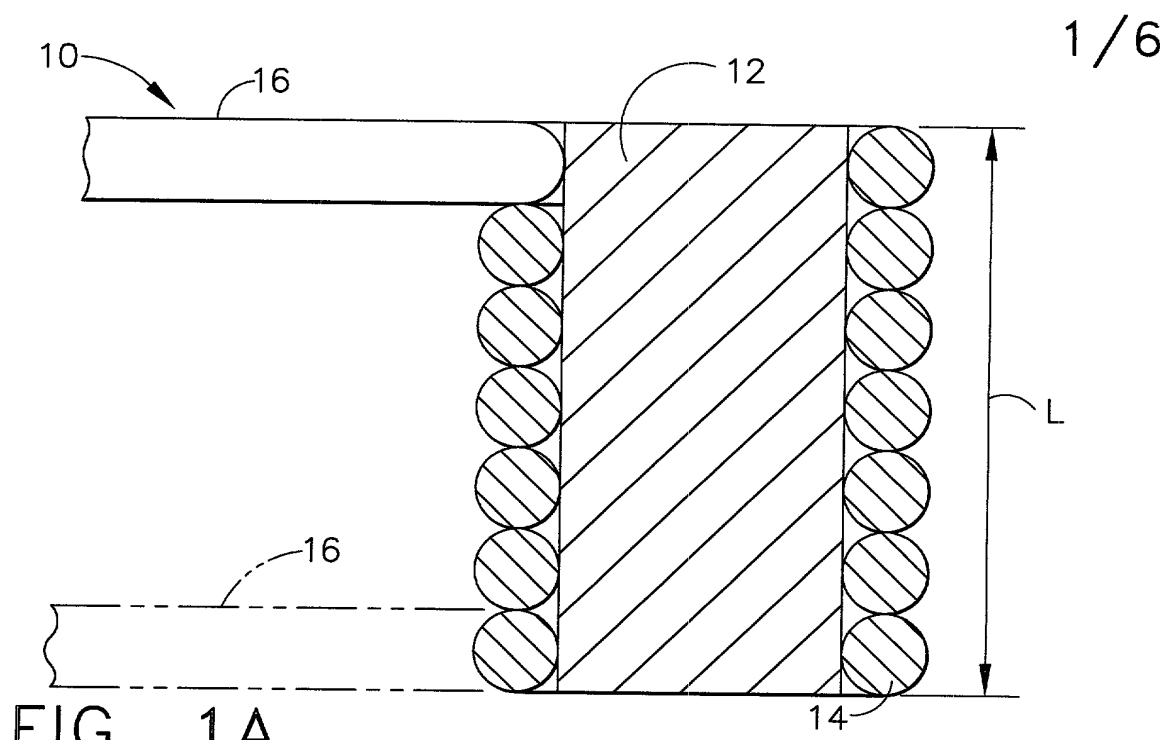


APPENDIX

TABLE 1

REGRESSING HEAT EXPERIMENT

	1			2			3			4			5			6			7			8										
	sensitivity	resistance		sensitivity	resistance		sensitivity	resistance		sensitivity	resistance		sensitivity	resistance		sensitivity	resistance		sensitivity	resistance		sensitivity	resistance									
30	2 6290	1 39	176 30	12 59	2 3925	1 30	165 20	12 89	2 4537	1 31	171 60	13 17	2 8664	1 26	185 60	13 25	3 3480	1 00	235 7	12 18	2 4057	1 25	167 4	13 02	2 4290	1 32	160 30	20 27	2 5002	1 11	175 40	11 74
35	2 6327	1 25	178 90	10 96	2 3958	1 16	168 00	11 01	2 4567	1 18	174 30	11 42	2 8696	1 14	188 90	11 28	3 3506	0 92	239 3	10 49	2 4081	1 15	169 6	11 56	2 4319	1 20	161 70	19 23	2 5029	1 00	177 40	10 48
40	2 6356	1 13	181 80	9 19	2 3990	1 03	171 00	9 06	2 4598	1 06	177 20	9 59	2 8728	1 03	192 10	9 42	3 3533	0 84	242 8	8 90	2 4108	1 04	171 9	10 06	2 4366	1 05	166 30	15 94	2 5053	0 91	179 20	9 38
45	2 6390	1 00	184 40	7 65	2 4025	0 88	173 90	7 25	2 4632	0 92	179 90	7 95	2 8765	0 90	194 90	7 85	3 3568	0 74	246 7	7 17	2 4141	0 90	174 7	8 30	2 4387	0 92	171 00	12 75	2 5070	0 84	180 60	8 63
50	2 6419	0 89	187 40	5 92	2 4057	0 74	176 40	5 73	2 4670	0 76	182 60	6 35	2 8801	0 77	197 80	6 27	3 3605	0 62	250 9	5 38	2 4167	0 79	177 3	6 71	2 4428	0 75	174 10	10 74	2 5093	0 75	183 50	8 61
55	2 6457	0 75	190 40	4 25	2 4087	0 62	178 90	4 25	2 4705	0 62	185 30	4 80	2 8838	0 64	200 80	4 68	3 3642	0 51	254 4	3 93	2 4198	0 66	179 6	5 35	2 4462	0 61	172 90	11 51	2 5134	0 58	185 10	5 89
60	2 6489	0 63	192 80	2 96	2 4116	0 50	181 80	2 59	2 4744	0 46	188 20	3 19	2 8875	0 52	203 80	3 14	3 3674	0 42	258 7	2 20	2 4232	0 52	182 2	3 84	2 4494	0 48	183 90	4 84	2 5157	0 49	191 40	2 40
65	2 6519	0 51	195 80	1 38	2 4148	0 36	184 30	1 19	2 4774	0 34	191 80	1 25	2 8913	0 38	207 30	1 40	3 3708	0 32	261 7	1 03	2 4265	0 38	184 6	2 49	2 4516	0 39	190 20	1 37	2 5168	0 45	194 10	0 98
70	2 6557	0 37	198 50	0 00	2 4176	0 25	186 50	0 00	2 4799	0 24	194 20	0 00	2 8952	0 25	210 20	0 00	3 3749	0 20	264 4	0 00	2 4293	0 27	186 9	1 23	2 4548	0 26	192 80	0 00	2 5215	0 26	196 00	0 00
75	2 6599	0 21			2 4207	0 12			2 4833	0 10	196 40		2 8986	0 13	212 20		3 3780	0 10	267 9		2 4326	0 13	189 2	0 00	2 4580	0 13			2 5247	0 13		
80	2 6655	0 00			2 4236	0 00			2 4858	0 00			2 9024	0 00			3 3815	0 00			2 4358	0 00			2 4611	0 00			2 5280	0 00		
slope	-0 0266		-0 3165		-0 0259		-0 3233		-0 0269		-0 3305		-0 0254		-0 3279		-0 0205		-0 3124		-0 0253		-0 2934		-0 0266		-0 5271		-0 0219		-0 3069	



106T99" 02T22360

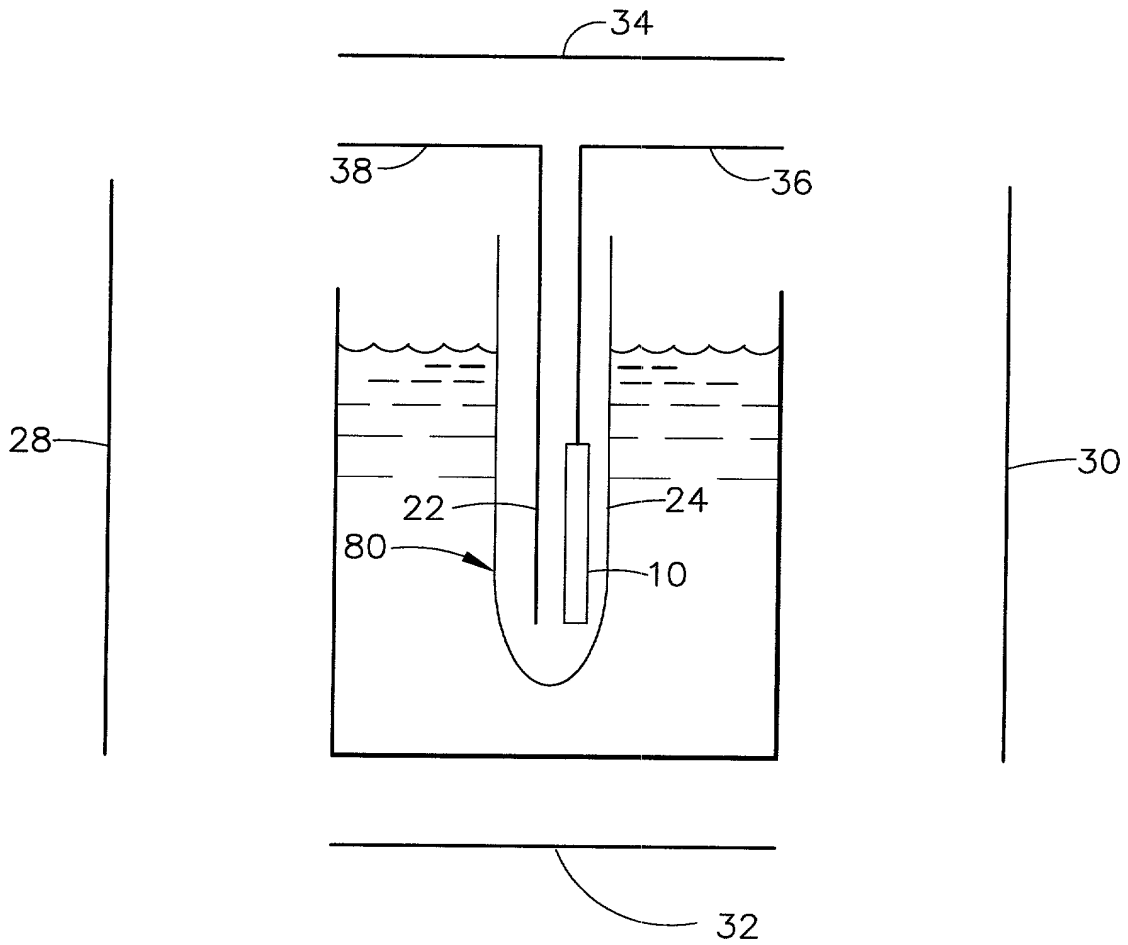


FIG. 2

REGRESSING HEAT EXPERIMENT SENSOR 2

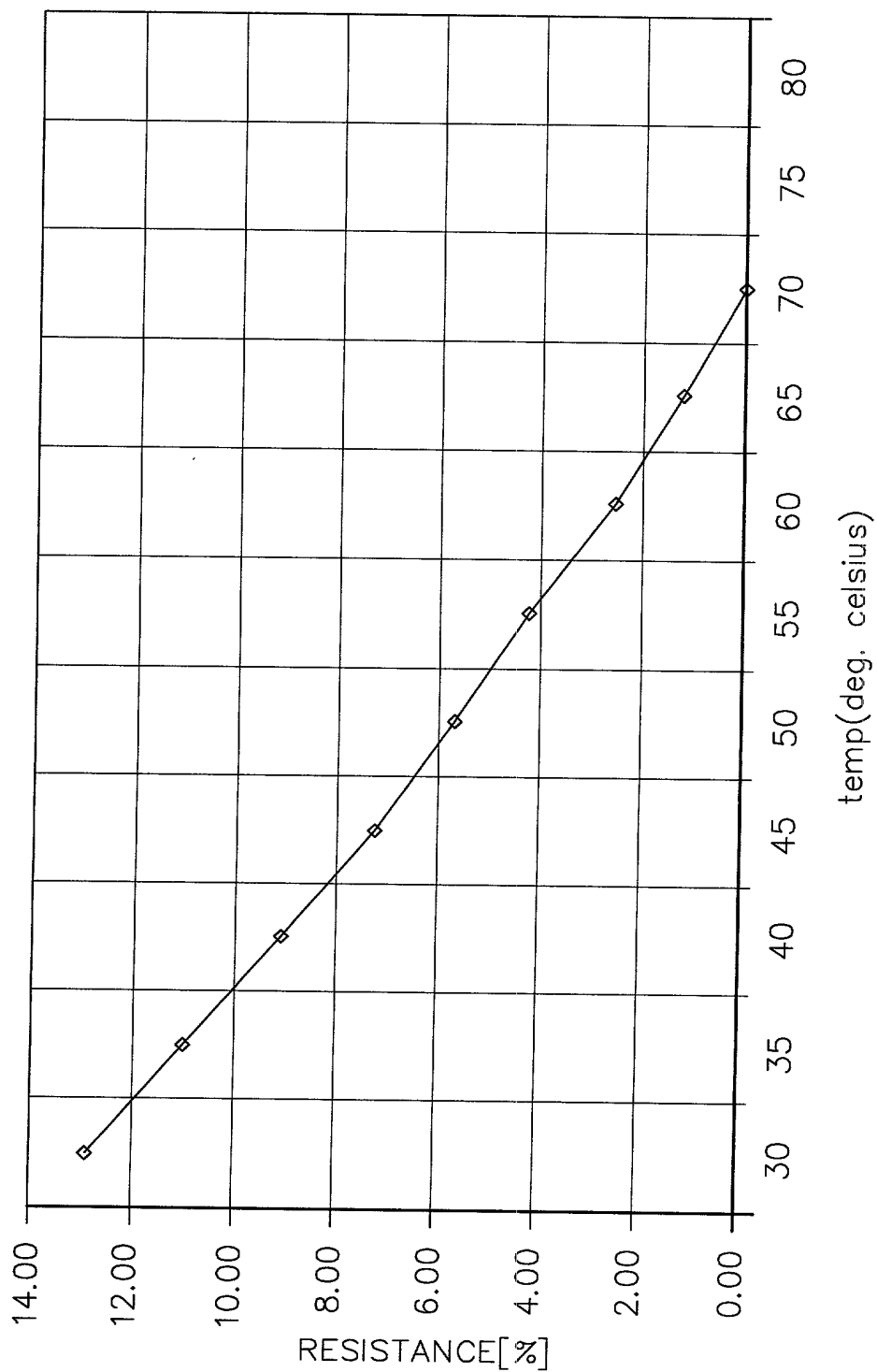


FIG. 3A

REGRESSING HEAT EXPERIMENT SENSOR 2

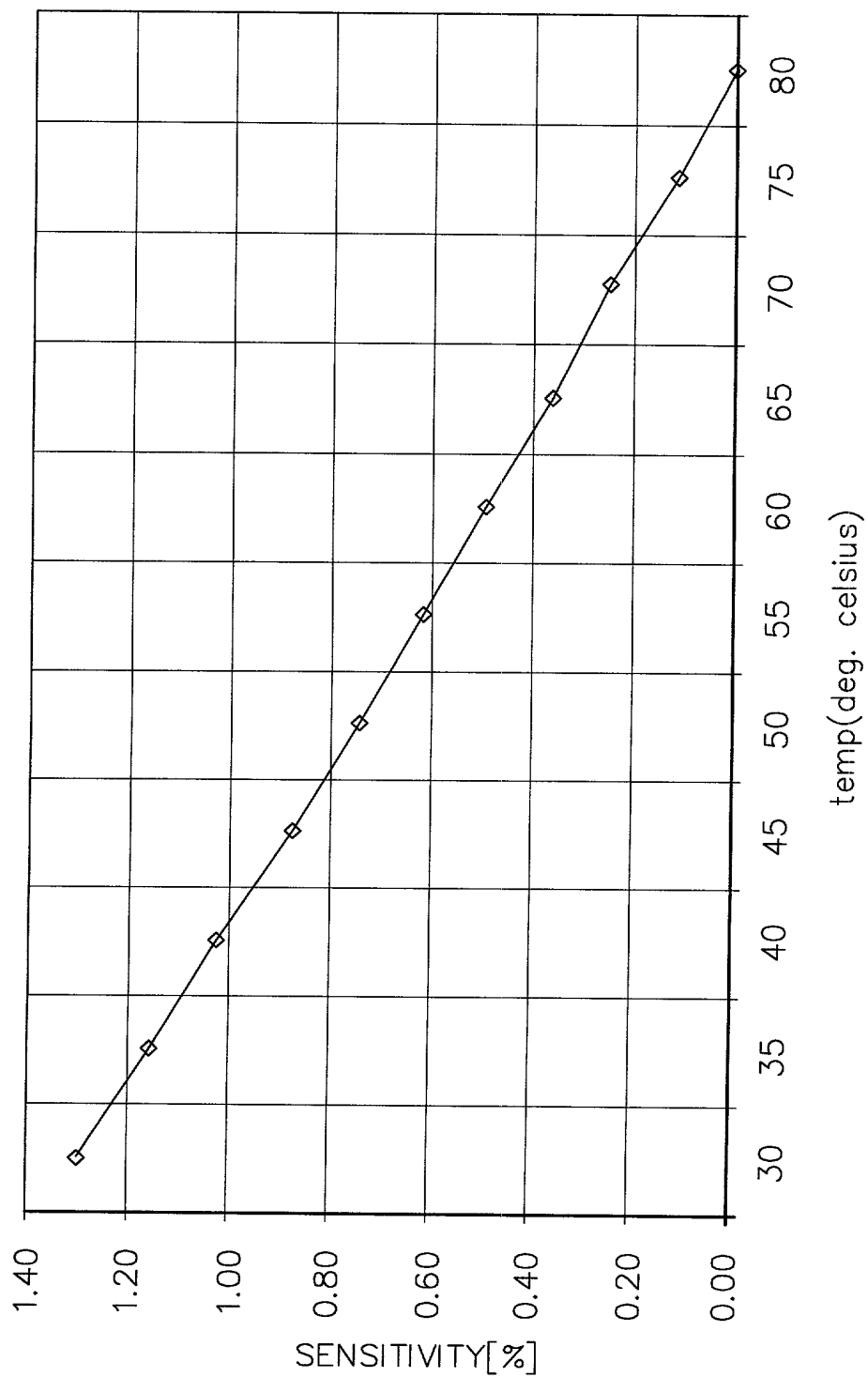


FIG. 3B

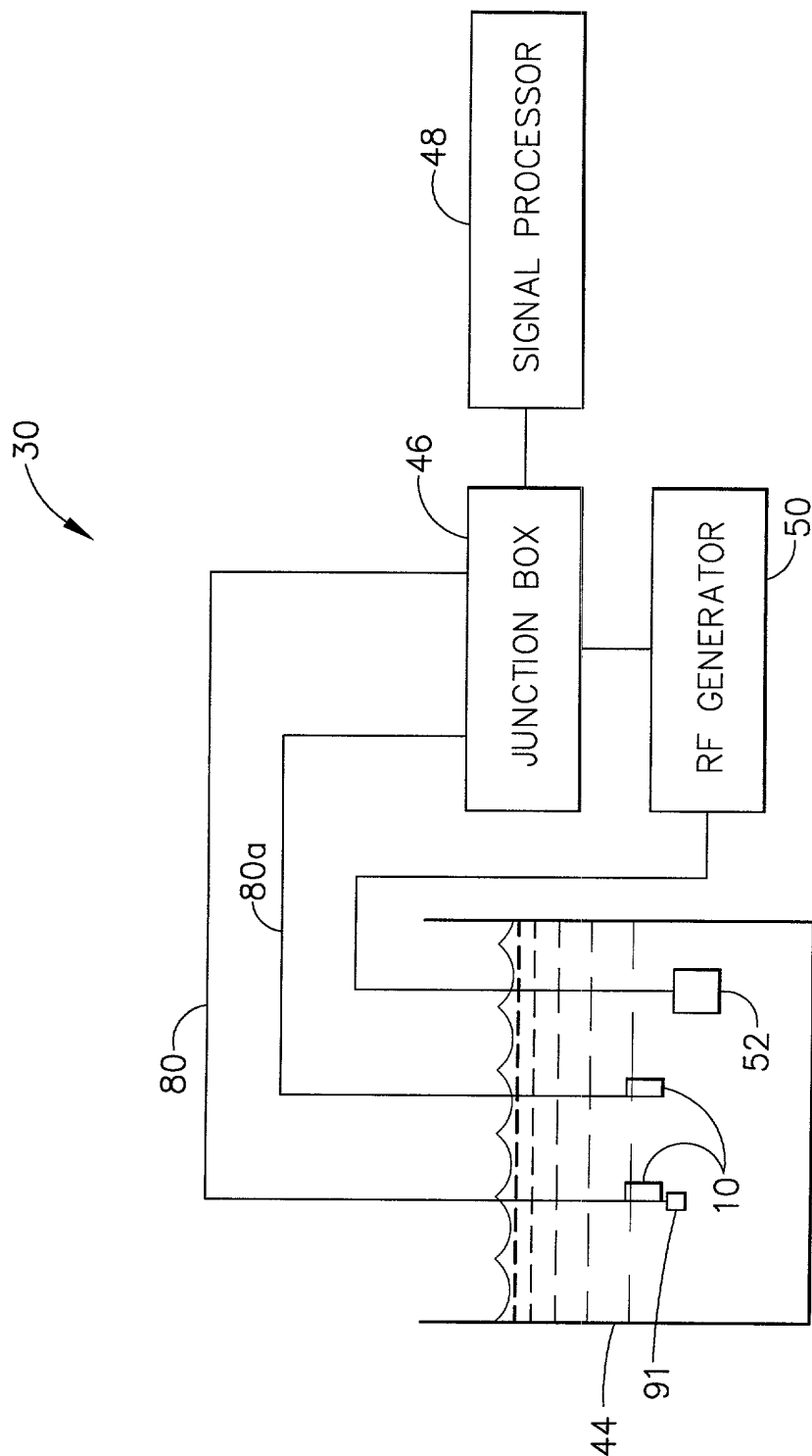


FIG. 4

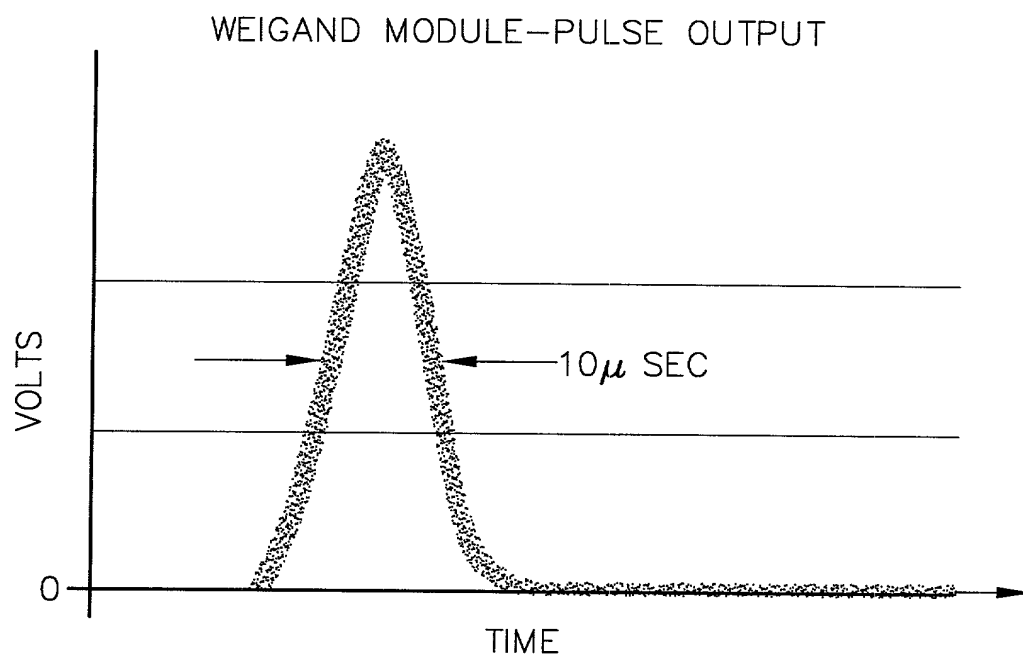


FIG. 5